

# 纳米 $\text{TiO}_2$ 催化燃烧固硫的实验研究

王淑勤, 赵毅, 谭茜, 许佩瑶

(华北电力大学环境科学与工程学院, 保定 071003)

**摘要:**通过纳米  $\text{TiO}_2$  催化  $\text{CaO}$  燃烧后粉煤灰的成分分析和燃烧烟气中  $\text{SO}_2$  含量的测定确定固硫效果, 探讨了纳米  $\text{TiO}_2$  添加量、 $\text{Ca}/\text{S}$  摩尔比、不同条件制备的纳米  $\text{TiO}_2$  及燃烧温度对分析纯  $\text{CaO}$  固硫的影响, 比较了纳米  $\text{TiO}_2$  对不同煤种以及不同钙基固硫剂的固硫效果, 并对反应产物进行了 X 射线衍射和扫描电镜分析。结果表明, 纳米  $\text{TiO}_2$  与  $\text{CaO}$  共同作用时, 纳米  $\text{TiO}_2$  最佳的添加量为 8%; 在  $\text{Ca}/\text{S}$  摩尔比为 2、燃烧温度为 850°C 时纳米  $\text{TiO}_2$  催化分析纯和工业纯  $\text{CaO}$  固硫效率达 87.8% 和 60.3%, 比不添加纳米  $\text{TiO}_2$  时增加 13.4% 和 29.6%。纳米  $\text{TiO}_2$  对不同煤种燃烧时  $\text{CaO}$  固硫有较好地催化作用, 能够促进  $\text{SO}_2$  转化成  $\text{SO}_3$  的本征反应, 同时增加煤灰的孔尺寸, 促进二氧化硫的扩散从而提高  $\text{CaO}$  的固硫效果。

**关键词:** 纳米  $\text{TiO}_2$ ; 催化; 固硫; 机理

中图分类号: X701.3 文献标识码: A 文章编号: 0250-3301(2008)02-0518-07

## Experimental Investigation of Nano- $\text{TiO}_2$ on Combustion and Desulfurization Catalysis

WANG Shu-qin, ZHAO Yi, TAN Qian, XU Pei-yao

(School of Environmental Science and Engineering, North China Electric Power University, Baoding 071003, China)

**Abstract:** Experiment research of nanometer  $\text{TiO}_2$  catalytic combustion to  $\text{CaO}$  desulfurization was studied. Desulfurization effect was measured by the composition analysis of fly ash after combustion and the content of  $\text{SO}_2$  in flue gas. The effects of analytical grade  $\text{CaO}$  desulfurization by nanometer  $\text{TiO}_2$  addition,  $\text{Ca}/\text{S}$  molar ratio, nanometer  $\text{TiO}_2$  that was prepared at different conditions and combustion temperature were discussed. Desulfurization effects were compared with different coals and Ca-base agents by nanometer  $\text{TiO}_2$  addition. The reaction products were analyzed by X-ray diffraction analysis (XRD) and scanning electron microscopy (SEM) analysis. The combustion desulfurization mechanisms of  $\text{CaO}$  by nanometer  $\text{TiO}_2$  addition were discussed. The experiment results show that nanometer  $\text{TiO}_2$  has good catalytic effect to  $\text{CaO}$  combustion desulfurization. When nanometer  $\text{TiO}_2$  was added together with  $\text{CaO}$ , the optimal addition dosage of nanometer  $\text{TiO}_2$  is 8%,  $\text{Ca}/\text{S}$  molar ratio is 2 and the combustion temperature is 850°C. The desulfurization efficiency of analytical and industrial grade  $\text{CaO}$  catalyzed by nanometer  $\text{TiO}_2$  can achieve to 87.8% and 60.3%, and it increased 13.4% and 29.6% than that without nanometer  $\text{TiO}_2$ . The pore diameter and surface area of different coal ashes with nano- $\text{TiO}_2$  addition increase because of the active centers of nano- $\text{TiO}_2$  surface which are helpful to the diffusion of  $\text{SO}_2$  and reaction of  $\text{SO}_2$  to  $\text{SO}_3$  and increase the desulphurization efficiency of  $\text{CaO}$ .

**Key words:** nano- $\text{TiO}_2$ ; catalysis; desulphurization; mechanism

近年来, 我国电力工业发展迅速, 火电装机容量增加较快。我国火力发电是以燃煤为主, 而煤在燃烧过程中会产生大量的污染物质, 在火力发电的生产过程中, 从电厂锅炉释放出大量的烟尘、 $\text{SO}_2$  以及  $\text{NO}_x$  等。目前世界各国都在采取切实有效的措施控制燃煤中的  $\text{SO}_2$  排放, 主要包括燃烧前脱硫、燃烧中脱硫和燃烧后脱硫<sup>[1~2]</sup>。根据我国国情, 采用燃煤固硫技术控制  $\text{SO}_2$  排放是行之有效的方法。燃煤固硫是指煤燃烧过程中固硫剂与燃烧产生的  $\text{SO}_x$  反应生成硫酸盐而将硫固定在灰渣中的过程。燃煤固硫一般包括直接掺烧和炉膛喷射脱硫剂 2 种方式, 其中直接掺烧因其可简化净化固硫过程、操作费用低而日渐受到人们的重视<sup>[3~10]</sup>。

目前, 燃煤固硫技术研究开发的重点为固硫剂

及其添加剂的研制开发。Yang 等<sup>[11]</sup>在研究流化床脱(固)硫过程中, 加入  $\text{Fe}_2\text{O}_3$ 、 $\text{V}_2\text{O}_5$  等助剂; Stouffer 等<sup>[12]</sup>在用  $\text{Na}_2\text{CO}_3$ 、 $\text{NaCl}$ 、 $\text{CaCl}_2$ 、 $\text{FeCl}_2$  作为助剂进行相似的研究中, 也发现了类似的结果: 加入 2%  $\text{Na}_2\text{CO}_3$  后, 石灰石固硫效果最好。对此, 他们认为  $\text{Na}_2\text{CO}_3$  的加入可以促使  $\text{CaO}$  晶格重排, 不仅使孔的分布、孔的尺寸有利于固硫, 而且  $\text{Na}_2\text{CO}_3$  本身还有一定的固硫作用(如生成  $\text{Na}_2\text{SO}_3$ 、 $\text{Na}_2\text{SO}_4$ )。由浙江大学开发的 ZD 系列固硫剂, 加入量大致相当于煤中硫含量的 4 倍。炉内固硫的固硫率为 32% ~

收稿日期: 2007-02-01; 修订日期: 2007-04-30

基金项目: 华北电力大学留学回国基金项目(200514002)

作者简介: 王淑勤(1965~), 女, 硕士, 副教授, 主要研究方向为大气污染治理技术, E-mail: wsqh@163.com

41%<sup>[13]</sup>. 固硫率低以及大多数采用模拟烟气进行脱硫试验, 没有考虑实际过程煤中灰的影响是燃煤固硫技术研究中存在的问题, 而且在添加剂方面缺乏系统性研究.

将纳米  $\text{TiO}_2$  加在煤中掺烧固硫的研究鲜见报道. 纳米  $\text{TiO}_2$  具有独特的晶体结构, 其中存在许多缺陷, 这些缺陷在不同反应中都是催化剂的活性部位; 纳米  $\text{TiO}_2$  尺寸小, 表面能高, 这些表面原子具有高的活性<sup>[14~18]</sup>.

本试验以纳米  $\text{TiO}_2$  为固硫添加剂进行燃煤掺烧固硫的研究, 对纳米  $\text{TiO}_2$  作为燃煤添加剂的可行性进行探讨, 并通过实验寻找合适的添加量, 同时进一步研究纳米  $\text{TiO}_2$  对  $\text{CaO}$  固硫的催化作用机理, 旨在提高氧化钙固硫率.

## 1 材料与方法

### 1.1 实验材料与装置

煤样采用汶南褐煤, 其含硫率为 2.381%. 固硫剂为分析纯  $\text{CaO}$ . 纳米  $\text{TiO}_2$  采用溶胶凝胶法制备<sup>[19]</sup>. 实验时称取一定量的煤样和纳米  $\text{TiO}_2$ 、 $\text{CaO}$ , 研磨混合均匀后把样品放入管式炉的瓷舟内, 接好吸收瓶, 通入定量氧气, 将样品在 500℃ 下预热 5 min, 以排出挥发份并防止煤样爆燃, 然后再升温到指定燃烧温度, 在纯氧气中燃烧 25 min, 尾气中  $\text{SO}_2$  由石灰溶液吸收. 燃烧结束后, 对煤灰进行分析, 并通过滴定吸收液检测烟气中  $\text{SO}_2$  含量. 采用纯氧燃烧时间短, 容易燃尽, 有利于采用碘量法检测烟气中  $\text{SO}_2$  含量.

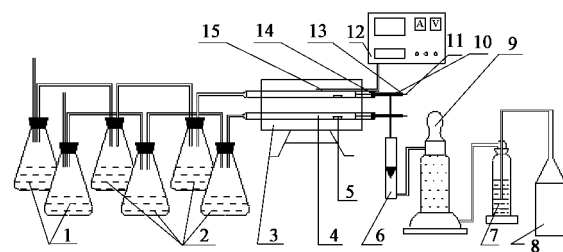
操作条件: 煤样和纳米  $\text{TiO}_2$ 、分析纯  $\text{CaO}$  均预先研磨细至全部通过 280 目孔筛, 通氧量为 40 mL/min, 钙硫摩尔比  $\text{Ca}/\text{S}$  选取范围为 1~3, 纳米  $\text{TiO}_2$  添加量为煤样重量的 4%~20%, 反应温度为 800~950℃. 纳米  $\text{TiO}_2$  催化燃烧固硫实验系统如图 1 所示.

### 1.2 分析测试方法

采用煤灰成分分析方法(GB 1574-79)对燃烧后的煤灰进行分析, 三氧化硫的测定采用硫酸钡重量法,  $\text{TiO}_2$  的测定采用过氧化氢比色法. 采用碘量法(HJ/T56-2000)检测烟气中  $\text{SO}_2$  含量, 通过测定吸收液中  $\text{SO}_2$  含量来计算固硫率.

$$\text{固硫率} = 1 - \frac{\text{样品烟气中 } \text{SO}_2 \text{ 含量}}{\text{本体烟气中 } \text{SO}_2 \text{ 含量}} \times 100\%$$

式中, 本体烟气中  $\text{SO}_2$  含量指原煤在同等实验条件下燃烧时烟气中的  $\text{SO}_2$  含量, 单位  $\text{mg/m}^3$ .



1. 石灰溶液; 2. 吸收瓶; 3. 燃烧炉; 4. 燃烧管; 5. 燃烧舟; 6. 流量计; 7. 洗气瓶; 8. 贮气瓶; 9. 干燥塔; 10.T型管; 11.推棒; 12. 温度控制器; 13. 翻胶帽; 14. 橡胶塞; 15. 热电偶

图 1 纳米  $\text{TiO}_2$  催化燃烧固硫实验装置

Fig. 1 Experimental facility of combustion desulfurization catalyzed by nano- $\text{TiO}_2$

$$\text{脱硫石灰中的 CaO 含量} \\ \text{CaO 转化率} = 1 - \frac{\text{煤中 CaO 含量} + \text{添加的 CaO 量}}{\text{脱硫石灰中的 CaO 含量}} \\ \times 100\%$$

## 2 结果与讨论

### 2.1 灰分分析结果

#### 2.1.1 纳米 $\text{TiO}_2$ 添加量对灰分中 $\text{SO}_3$ 含量的影响

在纳米  $\text{TiO}_2$  单独作用和纳米  $\text{TiO}_2$  与  $\text{CaO}$  共同作用的 2 种情况下, 纳米  $\text{TiO}_2$  添加量选取 6 个水平, 分别为 4%、6%、8%、10%、15%、20%, 对不同添加量的煤样在 850℃ 定温燃烧后灰分中的  $\text{SO}_3$  含量进行考察. 实验结果如图 2 所示.

由图 2 可以看出, 在 850℃ 纯氧定温燃烧条件下, 当纳米  $\text{TiO}_2$  单独作用, 对原煤固硫效果有一定的促进作用, 煤样燃烧后灰分中  $\text{SO}_3$  含量随着纳米  $\text{TiO}_2$  添加量增加而增加. 煤本身所含的  $\text{CaO}$ 、 $\text{MgO}$ 、 $\text{K}_2\text{O}$ 、 $\text{Na}_2\text{O}$ 、 $\text{Fe}_2\text{O}_3$  等矿物质使得煤自身有固硫能力,

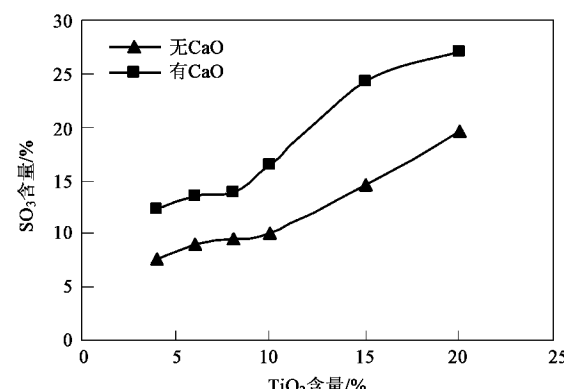


图 2 灰分中  $\text{SO}_3$  含量与纳米  $\text{TiO}_2$  添加量的关系

Fig. 2 Relationship between the  $\text{SO}_3$  content in coal ash and nano- $\text{TiO}_2$  dosage

但固硫率很低。加入纳米  $TiO_2$  的作用就在于提高煤自身固硫能力。原煤燃烧后灰分中的  $SO_3$  含量为 1.76%，当纳米  $TiO_2$  添加量达 20% 时，灰分中的  $SO_3$  含量为 19.58%，灰分中的  $SO_3$  含量提高了 10 倍还多。当煤样中同时添加  $CaO$  ( $Ca/S = 2$ ) 和纳米  $TiO_2$  时，纳米  $TiO_2$  对  $CaO$  固硫作用有较大的促进效果，煤样中只加  $CaO$  时灰分中  $SO_3$  含量为 9.49%。当纳米  $TiO_2$  添加量为 20% 时，灰分中  $SO_3$  含量达到了 27.24%，使灰分中的  $SO_3$  含量提高了 2 倍。

### 2.1.2 纳米 $TiO_2$ 添加量对 $CaO$ 转化率的影响

在不同纳米  $TiO_2$  添加量的条件下，对燃烧后灰分中  $SO_3$  含量进行考察的同时，对添加至煤样中作为固硫剂的  $CaO$  的转化率进行考察。随着煤样中纳米  $TiO_2$  添加量的增多， $CaO$  的转化率也不断提高。当煤样中仅添加  $CaO$  而未添加纳米  $TiO_2$  时， $CaO$  转化率仅为 61.8%，当煤样中纳米  $TiO_2$  添加量为 8% 和 20% 时， $CaO$  转化率提高至 73% 和 90%，这进一步证实了纳米  $TiO_2$  对  $CaO$  燃烧固硫效果的促进作用。 $CaO$  的转化率越高，说明燃烧过程中  $CaO$  与煤燃烧产生的硫化物反应越充分，固硫率将得到提高。

### 2.1.3 灰分中纳米 $TiO_2$ 含量的变化

无论煤样中只添加纳米  $TiO_2$  还是与  $CaO$  共同添加，煤样经过定温纯氧燃烧后的灰分分析，纳米  $TiO_2$  的变化率都在  $\pm 7\%$  的误差范围之内，即可认为燃烧前后纳米  $TiO_2$  的质量没有发生变化，可以初步认定纳米  $TiO_2$  在燃烧过程中的作用是催化作用。

## 2.2 烟气脱硫实验结果与分析

### 2.2.1 纳米 $TiO_2$ 添加量对固硫率的影响

纳米  $TiO_2$  的添加在  $CaO$  表面形成活性中心，从而提高脱硫效率。但催化剂的金属离子也会与煤中的氧基官能团结合。同时在燃烧中也会与煤中矿物质作用，因此催化剂含量对催化效果有较大影响。当煤样中只添加纳米  $TiO_2$  时，随着添加量的增多，固硫率逐渐升高，并在添加量为 15% 时固硫率达到峰值 34.6%，之后随着纳米  $TiO_2$  添加量增多固硫率趋于下降趋势（图 3）。这是由于加入了纳米  $TiO_2$  之后改变了煤燃烧产物的空隙结构，起到了一种疏松剂的作用，有利于气固反应的进行，从而提高固硫率<sup>[20]</sup>。但随着纳米  $TiO_2$  添加量增多，过多的纳米  $TiO_2$  粉末有可能让煤燃烧产物的空隙结构变紧密，导致固硫率降低。与纳米  $TiO_2$  单独作用类似，当煤样中共同添加  $CaO$  和纳米  $TiO_2$  时，在  $Ca/S$  比相同

条件下，随着添加量的增多，固硫率逐渐升高，在纳米  $TiO_2$  添加量为 8% 时固硫率达到最高值 87.8%，而只添加  $CaO$  时固硫率仅为 74.4%，因此表明，与  $CaO$  共同作用时，纳米  $TiO_2$  对  $CaO$  固硫效果有较好的促进作用，最佳的添加量为 8%。实验也表明，不管是纳米  $TiO_2$  单独作用还是与  $CaO$  共同作用，它都有一个适宜的添加量，在这个添加量下既能保证较高的  $CaO$  转化率又能达到最高的固硫率。因此以下实验中与  $CaO$  共同作用时选取纳米  $TiO_2$  添加量为 8%。当有  $CaO$  存在时，加入纳米  $TiO_2$  后，褐煤的燃烧反应活化能降低 5.9 kJ/mol，着火温度下降 17℃。说明纳米  $TiO_2$  不仅促进了  $CaO$  固硫还强化了煤的燃烧。

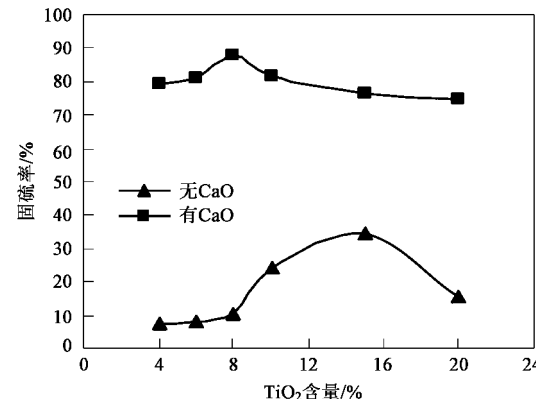


图 3 固硫率与纳米  $TiO_2$  添加量的关系

Fig. 3 Relationship between the desulfurization efficiency and nano- $TiO_2$  dosage

### 2.2.2 不同纳米 $TiO_2$ 对固硫率的影响

在添加相同的  $CaO$  条件下，选用 5 种不同的  $TiO_2$  粉体（预先研磨细至全部通过 280 目孔筛）添加到煤样中，添加量为 8%，燃烧温度为 850℃，考察不同  $TiO_2$  对固硫率的影响（表 1）。其中用溶胶-凝胶法制备的纳米  $TiO_2$  的区别仅在于最后煅烧的温度不同，分别为 500℃、750℃、900℃。

表 1 不同纳米  $TiO_2$  粉末的固硫率/%

Table 1 Desulfurization efficiency for different nano- $TiO_2$  particles/%

样品	分析纯 $TiO_2$	500℃烧制 纳米 $TiO_2$	750℃烧制 纳米 $TiO_2$	900℃烧制 纳米 $TiO_2$	商品纳米 $TiO_2$
固硫率	68.8	69.2	87.8	77.5	77.8

由表 1 可知，添加的纳米  $TiO_2$  种类对  $CaO$  固硫效果有一定的影响。实验结果表明 750℃烧制的纳米  $TiO_2$  固硫率最高为 87.8%。固硫效果最差的是

500℃烧制的纳米  $\text{TiO}_2$  和分析纯  $\text{TiO}_2$ , 影响固硫效果的原因可能是选用的 5 种  $\text{TiO}_2$  的微观结构不同。纳米  $\text{TiO}_2$  由于表面活化中心多, 因而催化效率比分析纯  $\text{TiO}_2$  高。

为了进一步证实纳米  $\text{TiO}_2$  的微观结构对固硫效果的影响, 利用压汞分析的方法对燃烧固硫实验中使用的 4 种纳米  $\text{TiO}_2$  进行孔隙结构的特性研究。500℃烧制的纳米  $\text{TiO}_2$  的颗粒孔径分布范围很广, 在 100~1 000 nm 范围之内, 孔径太大; 750℃烧制的纳米  $\text{TiO}_2$  孔径分布范围小, 颗粒孔径主要集中分布在 65~150 nm 之间; 900℃烧制的纳米  $\text{TiO}_2$  颗粒孔径主要分布在 60~200 nm 范围之内; 而商品纳米  $\text{TiO}_2$  颗粒孔径主要分布在 4~20 nm, 孔径很小, 极易被堵塞。750℃烧制的纳米  $\text{TiO}_2$  颗粒孔径分布均匀, 颗粒间孔隙分布也均匀。孔径的均匀分布会有效地改善催化剂的活性和选择性<sup>[21]</sup>, 有利于含硫气体在孔隙中扩散和反应且不易堵塞, 因而催化固硫效率最高。因此以下实验中选取纳米  $\text{TiO}_2$  焙烧的温度为 750℃。

### 2.2.3 Ca/S(摩尔比)对固硫率的影响

在煤样中添加 8% 的同种纳米  $\text{TiO}_2$ 、燃烧温度 850℃实验条件下, 选取不同 Ca/S 摩尔比进行实验, 考察  $\text{CaO}$  与纳米  $\text{TiO}_2$  共同作用和单独作用下 Ca/S 摩尔比对固硫率的影响, 结果如图 4 所示。当  $\text{CaO}$  单独作用时, 随着 Ca/S 增大, 固硫组分与  $\text{SO}_2$  接触机会越多, 固硫率也就越高。但当 Ca/S 为 2.5 和 3 时, 固硫率相差很小。并且固硫剂加入量过多会增加煤灰量, 降低原煤的固定碳含量和热值, 影响燃烧<sup>[22]</sup>。当煤样中同时添加  $\text{CaO}$  和纳米  $\text{TiO}_2$  时, 随着 Ca/S 增大, 固硫率也越高。但当 Ca/S 为 2.5 和 3 时固硫

率略有下降。可能是随着脱硫剂的用量增加, 脱硫剂颗粒孔隙减少和产物层增厚阻碍了  $\text{SO}_2$  进一步的扩散, 从而减缓硫酸盐化速率。因此以下实验中选取 Ca/S 为 2。

### 2.2.4 燃烧温度对固硫率的影响

在煤样中添加同种纳米  $\text{TiO}_2$ 、添加量为 8%、Ca/S 摩尔比为 2 的实验条件下, 考察燃烧温度对固硫率的影响, 实验结果如表 2 所示。

表 2 不同燃烧温度时的固硫率

Table 2 Desulfurization efficiency at different combustion temperature

燃烧温度/℃	800	850	900	950
固硫率/%	79.8	87.8	84.9	69.7

燃烧温度为 800℃ 时, 固硫率仅为 79.8%, 而当燃烧温度为 850℃ 时固硫率提高至 87.8%, 但随着温度继续增高, 固硫率又呈下降趋势, 当温度达 950℃ 时固硫率降低至 69.7%。可见燃烧温度高低对固硫率有很大的影响。温度太低, 影响固硫剂反应活性和反应速度; 温度升高, 由于  $\text{CaO}$  转化成  $\text{CaSO}_4$  是放热反应, 升温虽能增加反应速率, 但会使转化率下降, 不利于脱硫, 而且因为硫酸化反应生成的产物  $\text{CaSO}_4$  的摩尔体积是  $\text{CaO}$  的 2.72 倍<sup>[23]</sup>, 因而反应一段时间后,  $\text{CaO}$  颗粒表面孔隙很快被堵塞, 从而阻止了  $\text{SO}_2$  向其内部的扩散, 使固硫率下降。实验结果表明, 纳米  $\text{TiO}_2$  和  $\text{CaO}$  掺烧固硫的最佳实验温度为 850℃。这与最佳燃烧固硫反应区域一般在 850~900℃ 的结论一致<sup>[23]</sup>。因此以下实验中选取燃烧温度为 850℃。

### 2.2.5 纳米 $\text{TiO}_2$ 对不同煤种的适应性

在最佳实验条件下, 选用除汶南褐煤之外的 3 种不同含硫率的煤进行燃烧固硫实验, 以考察纳米  $\text{TiO}_2$  对不同煤种的适应性。

实验选用的 3 个样品成分及固硫率见表 3。其中 A 样品为内蒙烟煤, 属于中低硫煤且为高铝煤 (其  $\text{Al}_2\text{O}_3$  含量甚至高于  $\text{SiO}_2$  含量), B、C 为山西烟煤, 分别属于中硫煤和高硫煤。

由表 3 可知, 内蒙烟煤虽然属于中低硫煤但有无纳米  $\text{TiO}_2$  时其脱硫效率都最高, 可能由于  $\text{Al}_2\text{O}_3$  的催化作用加速了  $\text{SO}_2$  的氧化<sup>[23]</sup>。另外无论是对中低硫煤、中硫煤还是高硫煤, 纳米  $\text{TiO}_2$  对  $\text{CaO}$  的催化燃烧作用都比较显著。在  $\text{CaO}$  作为固硫剂的条件下, 加入纳米  $\text{TiO}_2$  后内蒙烟煤的固硫率提高 15.2%, 2 种山西煤的固硫率也分别提高了 16.2%

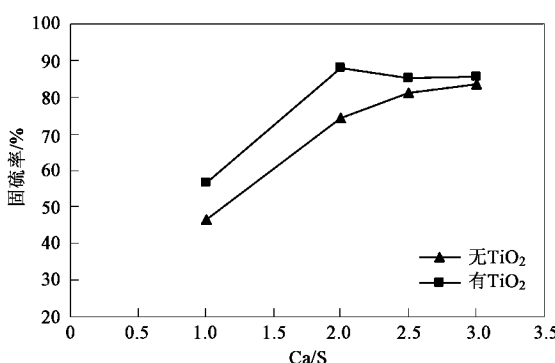


图 4 固硫率与 Ca/S 的关系

Fig.4 Relationship between the desulfurization efficiency and Ca/S molar ratio

和 17.8%。说明纳米  $\text{TiO}_2$  对不同煤种具有一定的适应性,而且对高硫煤的催化燃烧固硫效果更显著些。

表 3 不同含硫率时的不同煤种的固硫率

Table 3 Desulfurization efficiency at different sulfur content for different coal

样品成分	煤的含硫率/%	固硫率/%
A + CaO + 纳米 $\text{TiO}_2$	1.248	86.5
B + CaO + 纳米 $\text{TiO}_2$	1.896	82.6
C + CaO + 纳米 $\text{TiO}_2$	2.900	81.4
A + CaO	1.248	71.3
B + CaO	1.896	66.4
C + CaO	2.900	63.6

### 2.2.6 纳米 $\text{TiO}_2$ 对不同钙基固硫剂的适应性

在最佳实验条件下,选用  $\text{CaO}$ (分析纯)、工业石灰( $\text{CaO}$ 含量 75%)和  $\text{CaCO}_3$ (分析纯)3 种不同的钙基固硫剂进行纳米  $\text{TiO}_2$  催化燃烧固硫实验,以考察纳米  $\text{TiO}_2$  对不同钙基固硫剂的适应性。

实验中采用的固硫剂均经过研磨,细至全部通过 280 目孔筛。工业石灰要预先在 100℃下烘干 1 h,去除其中水分对实验的影响。实验结果如表 4 所示。

表 4 不同钙基固硫剂时的纳米  $\text{TiO}_2$  催化固硫效果

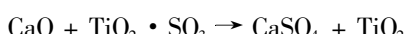
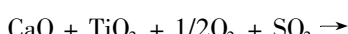
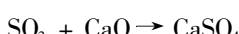
Table 4 Desulfurization efficiency at different Ca-base agent catalyzed by nano- $\text{TiO}_2$

样品成分	固硫率/%
煤 + $\text{CaO}$ (分析纯)	74.4
煤 + $\text{CaO}$ (分析纯) + 纳米 $\text{TiO}_2$	87.8
煤 + $\text{CaCO}_3$ (分析纯)	52.7
煤 + $\text{CaCO}_3$ (分析纯) + 纳米 $\text{TiO}_2$	72.8
煤 + 工业石灰	30.7
煤 + 工业石灰 + 纳米 $\text{TiO}_2$	60.3

由表 4 可知,纳米  $\text{TiO}_2$  对不同的钙基固硫剂的固硫效果都有较大的促进作用。其中纳米  $\text{TiO}_2$  对  $\text{CaO}$ (分析纯)的固硫率提高了 13.4 个百分点,对  $\text{CaCO}_3$ (分析纯)固硫率提高了 20.1 个百分点,对工业石灰的固硫率提高得最多,提高了 29.6 个百分点,将近提高了 1 倍。纳米  $\text{TiO}_2$  对工业石灰固硫效果有很好的促进作用,说明将来纳米  $\text{TiO}_2$  的工业应用前景广阔。

### 2.2.7 纳米 $\text{TiO}_2$ 催化固硫机理

由以上实验结果,认为在氧化性气氛下,分析纯  $\text{CaO}$  燃煤固硫的反应历程为:

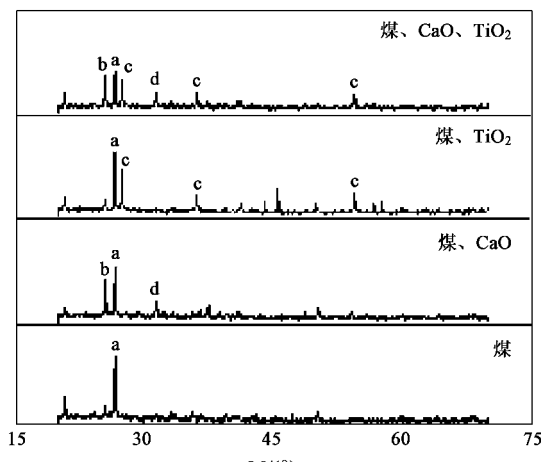


$\text{CaO}$  在较高温度下脱硫时,在氧气比较充足的条件下  $\text{SO}_2$  向  $\text{SO}_3$  转化,然后  $\text{CaO}$  颗粒捕捉气流中的  $\text{SO}_3$ ,并反应生成  $\text{CaSO}_4$ ,这是一个典型的气固反应<sup>[24]</sup>,主要按以下几个连续步骤进行:①  $\text{SO}_2$  和  $\text{O}_2$  穿过颗粒表面的气膜扩散到颗粒的外表面;②  $\text{SO}_2$  和  $\text{O}_2$  穿过内部孔道扩散到颗粒的内表面;③  $\text{SO}_2$  和  $\text{O}_2$  穿过  $\text{CaSO}_4$  产物层渗透扩散到未反应的  $\text{CaO}$  内核界面;④ 在反应界面,  $\text{SO}_2$  和  $\text{O}_2$  与  $\text{CaO}$  反应。

由于固体表面的不规则性是由各种晶体缺陷造成的,而这些缺陷正是活性中心集中处,固体的不规则度越大,其活性中心越多,反应速度则越快。可见固体钙基固硫剂微观表面结构是非常关键一个因素。

氧化钙和二氧化硫的本征化学反应在整个固硫过程中不是关键步骤,产物层扩散是提高固硫率的关键,且随固硫反应的进行不断加厚,不含添加剂的颗粒形成的产物层非常致密,不利于二氧化硫的继续扩散,而含有添加剂的颗粒形成的产物层结构疏松,有较大的孔隙,有利于二氧化硫的扩散从而提高固硫率,添加剂的作用是促进固硫反应产物层的扩散<sup>[25]</sup>。

图 5 为煤样纯氧燃烧后产物的 XRD 图谱。XRD 图谱表明,只在煤样中加入  $\text{CaO}$  只形成了  $\text{CaSO}_4$  一种产物。只在煤样中加入纳米  $\text{TiO}_2$  时,燃烧后的产物中含有  $\text{SiO}_2$  和  $\text{TiO}_2$ ,同时在煤样中添加  $\text{CaO}$  和纳米  $\text{TiO}_2$  时,燃烧后的产物中有  $\text{CaSO}_4$ 、 $\text{SiO}_2$ 、 $\text{TiO}_2$  和  $\text{CaO}$ ,并没有  $\text{CaO}$  与  $\text{TiO}_2$  反应的产物。证实了纳米  $\text{TiO}_2$  对固硫反应起到催化剂的作用,与灰分分析结



a.  $\text{SiO}_2$ ; b.  $\text{CaSO}_4$ ; c.  $\text{TiO}_2$ ; d.  $\text{CaO}$

图 5 燃烧后产物的 XRD 图谱

Fig. 5 XRD graphs of products after combustion

果吻合,也符合上述反应历程.

图 6 为煤灰的扫描电镜照片. 图 6(a)样品的 SEM 照片呈松散的片状, 颗粒小且密实, 这是原煤中的不可燃物质; 图 6(b)的 SEM 照片呈现有规则的滞留团状, 颗粒较大, 团的内部有很多的孔隙, 这有利于  $\text{SO}_2$  的扩散和与固相固硫剂的接触. 所以原煤加入  $\text{CaO}$  后, 固硫率得到了一定程度的提高; 图 6(c)的 SEM 照片呈现出更大的团状物, 且团内部孔隙比褐煤的孔隙大, 说明纳米  $\text{TiO}_2$  的作用为疏松了煤灰的孔隙; 图 6(d)的 SEM 照片表明, 同时加入  $\text{CaO}$  和纳米  $\text{TiO}_2$  后的煤灰孔尺寸增大了, 并有明显的层状结构, 呈非常疏松蜂窝状, 无烧结现象. 由于纳米

$\text{TiO}_2$  表面活化中心多, 这些表面能吸附  $\text{O}_2$ , 使纳米  $\text{TiO}_2$  颗粒周围的  $\text{O}_2$  浓度密集, 促进  $\text{SO}_2$  向  $\text{SO}_3$  转化, 气相的流动使煤灰孔隙扩大; 煤灰孔隙的扩大不仅有利于  $\text{SO}_2$  扩散促进脱硫, 而且使得  $\text{SO}_2$  与煤本身所含的  $\text{CaO}$ 、 $\text{MgO}$ 、 $\text{K}_2\text{O}$ 、 $\text{Na}_2\text{O}$ 、 $\text{Fe}_2\text{O}_3$  等矿物质反应充分, 从而可以提高煤自身的固硫率和  $\text{CaO}$  的转化率; 同时加入纳米  $\text{TiO}_2$  使得煤灰产生大的比表面积, 防止产物  $\text{CaSO}_4$  堵塞  $\text{CaO}$  表面的孔道, 提高内部  $\text{CaO}$  与烟气中的  $\text{SO}_2$  继续反应的能力, 从而使提高固硫率; 且固硫产物被蜂窝状的煤灰包裹, 阻止或延缓了固硫产物的分解, 有助于固硫.

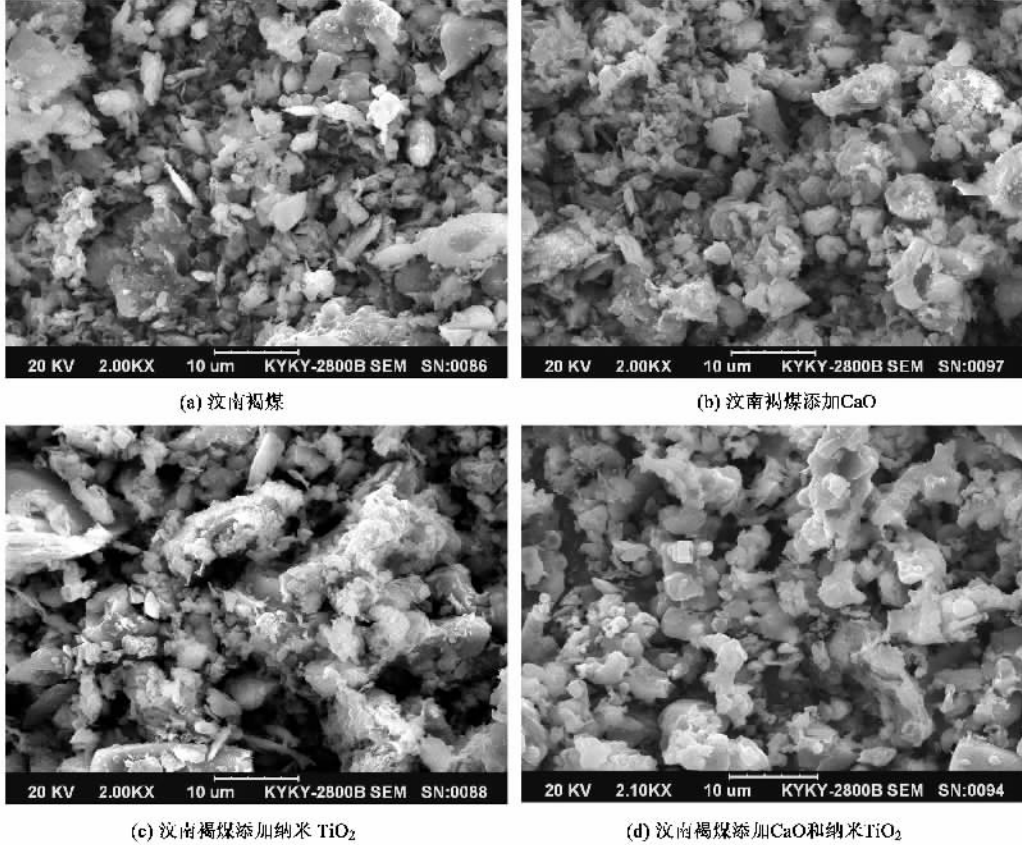


图 6 煤灰样品的扫描电镜(SEM)照片

Fig. 6 SEM graphs of coal ashes

### 3 结论

(1) 确定了纳米  $\text{TiO}_2$  催化  $\text{CaO}$  燃烧固硫的最佳反应条件为: 纳米  $\text{TiO}_2$  最佳的添加量为 8%,  $\text{Ca}/\text{S}$  摩尔比为 2, 燃烧温度为 850°C.

(2) 纳米  $\text{TiO}_2$  对不同煤种具有一定的适应性, 而且对高硫煤的催化燃烧固硫效果更显著些; 纳米

$\text{TiO}_2$  对 3 种不同的钙基固硫剂具有一定的适应性, 对工业石灰固硫的催化效果最好, 固硫率提高近 1 倍.

(3) 纳米  $\text{TiO}_2$  的孔结构分布是决定催化作用的主要因素. 焙烧温度对纳米  $\text{TiO}_2$  的孔结构分布影响较大, 750°C 焙烧的纳米  $\text{TiO}_2$  的孔均匀, 大小适中利于含硫气体在孔隙中扩散和反应且不易堵塞, 因而

催化固硫效率最高。

(4) 纳米  $TiO_2$  对  $CaO$  燃烧固硫的催化作用表现为改变了煤灰的微观结构, 疏松了煤灰的孔隙, 从而促进  $SO_2$  转化成  $SO_3$ ,  $SO_3$  与  $CaO$  反应成为硫酸钙。同时纳米  $TiO_2$  还能降低褐煤的着火温度, 有利于强化燃烧, 节约用煤量。

#### 参考文献:

- [1] 管菊根.火电厂脱硫技术应用概况[J].电力环境保护,1999,15(2):50-52.
- [2] 彭会清,胡海祥,赵根成.火电厂脱硫业前景广阔[J].矿山环保,2002,47(4):9-11.
- [3] 朱光俊,梁中渝,邓能运.煤粉燃烧固硫的研究[J].矿业安全与环保,2004,31(6):21.
- [4] 张传祥,郑继东,谌伦建,等.高硫煤炉内燃烧脱硫的试验研究[J].煤矿环境保护,2002,16(3):21-25.
- [5] 袁中山,吴迪镛,王树东.采用燃煤一体化添加剂的燃烧中固硫作用研究[J].燃料化学学报,2002,30(1):36-40.
- [6] Cheng J, Zhou J H, Liu J Z, et al. Sulfur Removal at High Temperature during Coal Combustion in Furnaces: a Review[J]. Progress in Energy and Combustion Science, 2003, 29: 381-405.
- [7] Guan R G, Li W, Li B Q. Effects of Ca-based additives on desulfurization during coal pyrolysis[J]. Fuel, 2003, 82(5): 1961-1966.
- [8] 邹学权,刘毅,武建军.用 TG-FTIR 考察煤燃烧过程中石灰石固硫影响因素[J].煤炭转化,2002,25(4):39-41.
- [9] 张明旭.用热重分析(TGA)方法研究高硫煤流化床混合燃料[J].淮南矿业学院学报,1997,17(3):38-42.
- [10] 刘随芹,陈怀珍,崔海凤.燃煤高温固硫技术的现状及进展[J].中国煤炭,1999,9(9):14-15.
- [11] Yang R T, Shen M S, Meyer S. Fluidized Bed Combustion of Coal with Lime Additives: Catalytic Sulfation of Lime with Iron Compounds and Coal Ash [J], Environ Sci Tech, 1978, 12(8): 915-1015.
- [12] Stouffer M R, Heeyoung Y. An investigation of  $CaO$  sulfation mechanisms in boiler sorbent injection[J]. AIChEJ, 1989, 35(8): 1252-1262.
- [13] 程军,周俊虎,刘建忠,等.添加剂催化洁净煤燃烧的动态特性研究[J].中国电机工程学报,2002,22(9):128-131.
- [14] 童忠良.纳米化工产品生产技术[M].北京:化学工业出版社,2006,209.
- [15] 田秀兰.纳米二氧化钛的合成及其在环保领域的应用[J].节能与环保,2006,(8):61-62.
- [16] 陈早明,郑典模.纳米二氧化钛制备方法[J].江西化工,2003,(1):7-10.
- [17] 吴忠标,赵伟荣.室内空气污染及净化技术[M].北京:化学工业出版社,2005,541-543.
- [18] 张志,崔作林.纳米技术与纳米材料[M].北京:国防工业出版社,2000.
- [19] 张博,秦永宁,刘源.溶胶-凝胶法制备纳米  $TiO_2$  及其光催化降解甲醛的研究[J].内蒙古工业大学学报,2003,4: 248-252.
- [20] 谭娅.燃煤固硫添加剂的实验研究及其促进固硫机理分析[D].长沙:湖南大学,2005,4-20.
- [21] 赵毅,李守信.有害气体控制工程[M].北京:化学工业出版社,2001,148.
- [22] 韩翔宇,陈皓侃,李保庆.石灰石在煤燃烧过程中固硫反应机理研究进展[J].煤炭转化,2000,23(1): 19-21.
- [23] 岑可法,姚强,骆仲泱,等.燃烧理论与污染控制[M].北京:机械工业出版社,2004,374-409.
- [24] 马奕.高温燃煤脱硫机理研究及微观物化分析[D].杭州:浙江大学,2003,10-23.
- [25] 陈列城,殷丽娟,王济洲.燃煤固硫中钙基固硫添加剂的研究进展[J].陕西煤炭,2003,(2): 9-11.